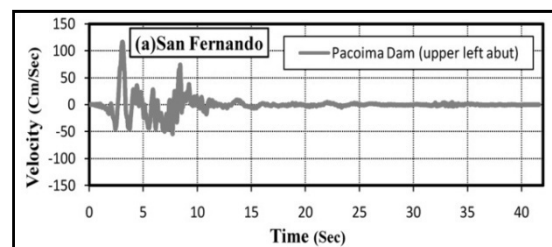


براساس تحقیقات Baez و Miranda [11]، نسبت تغییر مکان بیشینه غیرالاستیک به تغییر مکان بیشینه الاستیک برای سازه های با مقاومت ثابت (C_R)، در زلزله های حوزه نزدیک نسبت به زلزله های معمول در پریودهای $0/1$ تا $1/3$ ثانیه معمولاً بیشتر است. همچنین ایشان به این نتیجه دست یافتهند که بیشترین سرعت فزاینده یکی از مهم ترین پارامترهای مؤثر بر این نسبت است. بیشترین سرعت فزاینده عبارت است از بیشترین سطح زیر نمودار تاریخچه زمانی شتاب، در میان دو نقطه، که نمودار شتاب، خط مبدأ (محور زمان) را قطع می کند.

Chintapakdee و Chopra [5] برای ۱۵ رکورد زلزله حوزه نزدیک عمود بر راستای گسل، نسبت تغییر مکان بیشینه غیرالاستیک به الاستیک را به دست آورده اند. آنها به این نتیجه رسیدند که میانه C_R و نسبت تغییر مکان بیشینه غیرالاستیک به الاستیک در سازه های با شکل پذیری ثابت، C_R برای زلزله های حوزه نزدیک نسبت به زلزله های معمول در ناحیه حساس به شتاب با هم متفاوت است. اما زمانی که این نسبت ها را در برابر پریود نرمال شده به T_C (پریودی که ناحیه حساس به شتاب را از ناحیه حساس به سرعت جدا می کند) رسم کردند، این تفاوت کاهش پیدا کرد و دو مقدار بسیار به هم نزدیک شدند.

Akkar و همکاران [12] با در نظر گرفتن ۵۶ رکورد حوزه نزدیک، C_R را برای سازه های بدون کاهندگی و با کاهندگی سختی بررسی کردند. آنها دریافتند که T_p در زلزله های حوزه نزدیک اثر مهمی بر بیشینه تغییر مکان غیرالاستیک سازه ها دارد و نسبت C_R در بازه دوه تا $1/8 T_p$ افزایش دامنه ی چشم گیری دارد؛ به گونه ای که این میزان با افزایش ضربی کاهش مقاومت، افزایش می یابد. آنها همچنین اثر کاهندگی سختی در نسبت C_R را بررسی کردند و به این نتیجه

ضربی تغییر مکان، C_1 به صورت ضربی اصلاح برای نسبت دادن تغییر مکان بیشینه غیرالاستیک به الاستیک خطی، تعریف می شود. یکی از مراحل اصلی این روش، محاسبه تغییر مکان بیشینه غیرالاستیک با استفاده از نسبت گفته شده است که اجازه می دهد تغییر مکان بیشینه غیرالاستیک براساس تغییر مکان بیشینه الاستیک محاسبه شود. زلزله های حوزه نزدیک پالس گونه که به خاطر جهت گیری رخ می دهد، نوع خاصی از زمین لرزه ها است که امروزه برای توصیف آنها تحقیقات بسیاری انجام شده است. این زمین لرزه ها براساس پالس موجود در تاریخچه زمانی سرعت، در راستای عمود بر راستای گسل توصیف شده و معمولاً در فاصله کمی از گسل روی می دهند (شکل شماره ۱). یکی از مهم ترین ویژگی های زلزله های پالس گونه، پریود همراه پالس سرعت است که به صورت T_p نشان داده شده و می توان آنرا با تقریب خوبی پریودی دانست که طیف پاسخ سرعت در آن به بیشترین مقدار خود می رسد [3] [4].

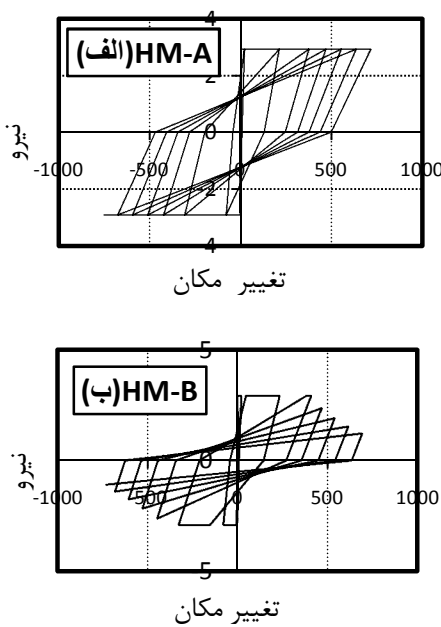


شکل (۱) تاریخچه سرعت برای رکورد پالس گونه در زلزله SanFernando با بزرگای ممان $6/76$ و $T_p = 1/6$ ثانیه

در سال های نزدیک تحقیقات گستره ای روی نسبت تغییر مکان غیرالاستیک برای زلزله های بدون پالس انجام شده است که نتایج آنها در مقالات [۵] و [۱۰] و گزارش های گوناگون به چاپ رسیده است؛ اما برای زلزله های پالس گونه، این تحقیقات کمتر و محدود تر است که در ادامه به آنها می پردازیم.

۲- روش پژوهش و سامانه‌های سازه‌ای مطالعه شده

نسبت تغییر مکان غیرالاستیک C_R براساس تحلیل‌های تاریخچه زمانی غیرالاستیک روی سازه‌های یک درجه آزادی با دوره تناوب‌های گوناگون و میرایی^۵ درصد بدست آمده است. سازه‌های مطالعه شده رفتار هیسترسیس الاستوپلاستیک کامل داشته و هر یک ضریب کاهش مقاومت برابر با $6, 5, 4, 3, 2, 1/5 R = 1/5$ است. برای هر یک از رکوردهای زلزله و هر ضریب کاهش مقاومت C_R برای 120 دوره تناوب به دست آمده است. برای ارزیابی‌های تاریخچه زمانی غیرخطی از نرم‌افزار USDP [۱۴] استفاده شده است. برای بررسی اثر رفتار هیسترسیس روی C_R ، سه نوع مدل رفتاری زیر به کار رفته است:



شکل (۲) رفتار چرخه‌ای مدل‌های کاهندگی استفاده شده در پژوهش.
(الف) مدل کاهندگی سختی کلاف، (ب) مدل کاهندگی سختی و مقاومت کلاف

۱) رفتار دو خطی برای نشان دادن رفتار سازه‌هایی که کاهندگی مقاومت و سختی در آن‌ها رخ نمی‌دهد، ۲) مدل

رسیدنند که تغییر مکان غیرالاستیک نیاز در زلزله‌های حوزه نزدیک پالس گونه در سازه‌های با کاهندگی سختی با دوره تناوب‌های کمتر از $1/5 T_p$ ، افزایش می‌یابد.

[۱۳] Ruiz-García در سازه‌های بدون کاهندگی و با کاهندگی سختی و مقاومت را مطالعه کرد. او به این نتیجه رسید که بیشینه سرعت زمین‌لرزه تأثیر چندانی بر نسبت تغییر مکان غیرالاستیک ندارد؛ همچنان در سازه‌های دارای کاهندگی مقاومت و سختی، با افزایش میزان کاهندگی در دوره تناوب کمتر از T_g (دوره تناوب مرتبط با بیشترین مقدار سرعت طیفی در طیف با میرایی^۵ درصد)، تغییر مکان غیرالاستیک نیاز افزایش می‌یابد. ایشان رابطه‌ای برای برآورد C_R ارائه کرد که میزان خطای میانگین آن در دوره تناوب‌های کمتر از $1/5 T_g$ (قریباً 20 درصد) است.

در این پژوهش نتایج مطالعات آماری گسترده روی نسبت تغییر مکان‌های بیشینه غیرالاستیک به الاستیک سامانه‌های یک درجه آزادی با مقاومت ثابت، در زلزله‌های پالس گونه حوزه نزدیک ارائه می‌شود. سعی بر آن بوده تا با افزایش رکوردهای مطالعه شده دقت نتایج افزایش یابد. مباحثی که بررسی شده عبارت است از: تأثیر دوره تناوب نوسانگر، دوره تناوبی که بیشترین تغییر مکان طیفی در آن رخ می‌دهد (T_D)، ضریب کاهش مقاومت، پریود همراه پالس سرعت (T_p)، میزان سخت‌شوندگی بعد از جاری شدن و رفتار هیسترسیس سازه. افزون بر موارد گفته شده، تأثیر بزرگاً و فاصله از گسل نیز بررسی شده است. رابطه پیشنهاد شده مولفین برای نسبت تغییر مکان غیرالاستیک را می‌توان برای ارزیابی لرزه‌ای سازه‌های در معرض زلزله‌های پالس گونه حوزه نزدیک استفاده کرد. این رابطه در مقایسه با روابط ارائه شده در تحقیقات گذشته دارای خطای میانگین کمتر و دقت بیشتری است.

بارگذاری تعریف کرد. در این پژوهش از مدل کاهنده‌گی کلاف استفاده شده است که کاهنده‌گی سختی در این مدل براساس رابطه ۱ بیان و کاهنده‌گی مقاومت آن به صورت معادله ۲ ارائه شده است:

$$f_x(i) = \beta_a \cdot f_x(i-1) \cdot \left(1 - e^{-\beta_b \cdot n \cdot \frac{u_x}{u_y}} \right) \quad (2)$$

$f_x(i)$ بیشترین مقاومت بعد از کاهنده‌گی، $f_x(i-1)$ بیشترین مقاومت قبل از کاهنده‌گی، u_x بیشترین تغییر مکان، n تعداد سیر یا گردش و β_a و β_b پارامترهای کاهنده‌گی مقاومت است. در شکل ۲-ب، نمونه‌ای از رفتار چرخه‌ای این مدل در اثر یک بارگذاری متناوب دیده می‌شود. برای سازه‌های دارای کاهنده‌گی مقاومت و سختی، مقدار λ برابر $4^0/4^0$ و مقادیر β_a و β_b به ترتیب $0/75^0$ و $0/25^0$ انتخاب شده است [۱۵].

کاهنده‌گی سختی کلاف (HM-A)، ۳ مدل کاهنده‌گی مقاومت و سختی کلاف (HM-B) [۱۵]. مدل‌های کاهنده‌گی انتخابی به خاطر سادگی و کارآمدی آنها نسبت به مدل‌های رفتاری سایر مراجع [۱۶] در نظر گرفته شده است. مدل‌های رفتاری ۲ و ۳ رفتار چرخه‌ای در سازه‌های بتون آرمه را نشان می‌دهد که با کاهش مقاومت و سختی همراه است و در مورد آنها توضیح داده خواهد شد.

۱-۲- مدل کاهنده‌گی سختی کلاف (HM-A)

این مدل برای نمونه‌هایی استفاده می‌شود که در آینه نامه‌های کنونی، طراحی و جزئیات آن به درستی اجرا شده و کاهش سختی ناشی از ایجاد ترک در نمونه بر اثر بارهای متناوب باشد (شکل ۲-الف). در این روش، سختی باربرداری از یک رابطه ساده بین سختی اولیه و شکل پذیری پیروی می‌کند که در معادله ۱ آمده است:

$$K_{un} = K_0 \left(\frac{u_y}{u_m} \right)^\lambda \quad (1)$$

K_0 سختی اولیه، u_y تغییر مکان جاری شدن، u_m بیشترین تغییر مکان غیرالاستیک سازه، K_{un} سختی باربرداری و λ پارامتر بر مبنای شکل پذیری است که مقداری بین صفر تا یک دارد. زمانی که λ مساوی صفر باشد، سختی باربرداری، برابر سختی اولیه است. تحقیقات گوناگونی برای به دست آوردن مقدار λ انجام شده [۱۵] و در این پژوهش λ برابر $4/0$ در نظر گرفته شده است.

۲-۲- مدل کاهنده‌گی سختی و مقاومت کلاف (HM-B)

این مدل برای سازه‌هایی استفاده شده است که در بارگذاری‌های متناوب، کاهش سختی همراه کاهش مقاومت رخ می‌دهد. کاهش چرخه‌ای مقاومت را می‌توان به صورت از دست دادن مقاومت جانبی با افزایش چرخه‌های

۳- رکوردهای انتخاب شده

۶۱ رکورد زلزله حوزه نزدیک پالس گونه عمود بر راستای گسل مسبب، براساس ویژگی‌های داده شده در مرجع شماره ۱۷ (Baker J.W) انتخاب شده است. رکوردهای انتخاب شده این ویژگی‌ها را دارند: ۱) زلزله‌های با بزرگای ممان (M_w) بیش از 6 برگزیده شده و 2 کوتاهترین فاصله محل ثبت رکورد تا سطح گسیختگی، کمتر از 20 کیلومتر باشد. پریود همراه پالس سرعت براساس مرجع شماره ۱۷ (Baker, J.W) در نظر گرفته شده است. در جدول ۱، جزئیاتی مانند: نام زلزله، نام ایستگاه، کمترین فاصله تا سطح گسیختگی (ClstD)، بیشترین سرعت زمین لرزه، بیشترین شتاب زمین لرزه، پریود همراه پالس سرعت (T_p) و دوره تناوب مرتبط با بیشترین مقدار سرعت طیفی (T_g) و تغییر مکان طیفی (T_D) با میرایی 5^0 درصد، مربوط به رکوردهای انتخابی، ارائه شده است.

نسبت تغییر مکان غیرالاستیک برای سازه‌های در معرض زلزله‌های پالس‌گونه حوزه نزدیک

نعمت حسنی^{*}، غلامرضا قدرتی امیری^۱، مجید بارانیا^۲، فریدون سیناییان^۳

۱- استادیار، پردیس فنی و مهندسی شهید عباسپور، دانشگاه شهید بهشتی

۲- استاد، دانشگاه علم و صنعت ایران

۳- دانشجوی دکترا، پردیس فنی و مهندسی شهید عباسپور، دانشگاه شهید بهشتی

۴- استادیار، مرکز تحقیقات مسکن و ساختمان

nemathassani@yahoo.com

تاریخ دریافت: ۱۳۹۰/۰۹/۳۰
تاریخ پذیرش: ۱۳۹۰/۱۲/۲۰

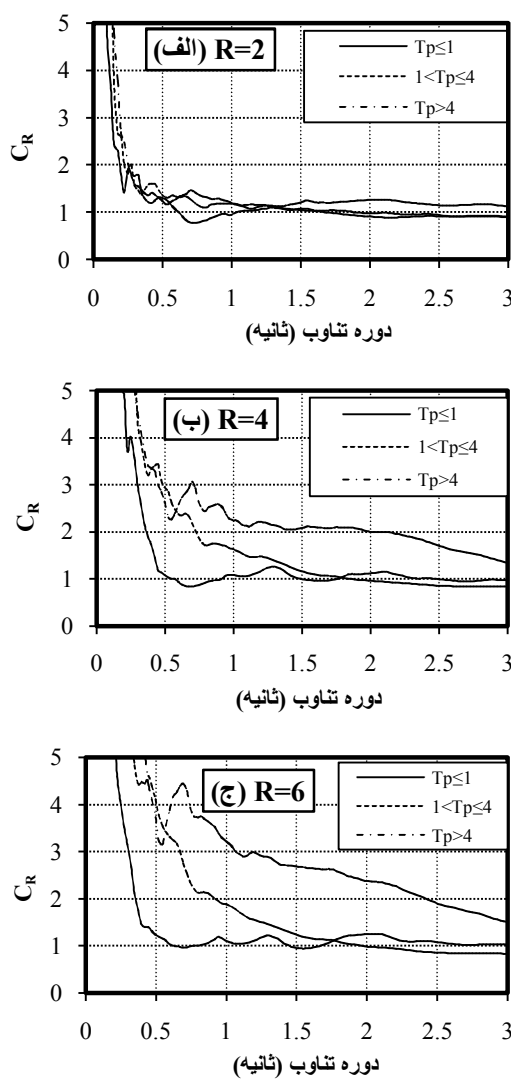
چکیده- در این مقاله، نتایج به دست آمده از بررسی آماری نسبت تغییر مکان غیرالاستیک سازه‌های در معرض زلزله‌های پالس‌گونه حوزه نزدیک ارائه شده است. نتایج این پژوهش می‌تواند برای ارزیابی تغییر مکان غیرالاستیک نیاز سازه‌هایی با سختی و مقاومت جانبی مشخص در زلزله‌های حوزه نزدیک استفاده شود. نسبت تغییر مکان غیرالاستیک از پاسخ سامانه‌های یک‌درجه آزادی با سطح از ضربیت کاهش مقاومت، در معرض ۶۱ رکورد حوزه نزدیک پالس‌گونه به دست آمده است. اثر نرمال کردن دوره تناوب با دوره تناوبی که در آن بیشترین مقدار تغییر مکان طیفی رخ می‌دهد، ضربیت کاهش مقاومت، پریود همراه پالس سرعت ω_p ، بزرگاً و فاصله زلزله، میزان سخت‌شوندگی بعد از جاری شدن و رفتار هیستورسیس سازه، روی نسبت تغییر مکان غیرالاستیک، بررسی شده است. نتایج نشان می‌دهد در دوره تناوب‌های کم، کاهندگی سختی و مقاومت باعث افزایش تغییر مکان غیرالاستیک نیاز می‌شود. سرانجام یک رابطه جدیدبرای محاسبه میانگین نسبت تغییر مکان غیرالاستیک سازه‌ها در زلزله‌های پالس‌گونه حوزه نزدیک پیشنهادشده که تقریب بسیار خوبی برای محاسبات دارد.

واژگان کلیدی- زلزله‌های حوزه نزدیک، پالس‌گونه، نسبت تغییر مکان غیرالاستیک، تغییر مکان نیاز، کاهندگی سختی

تعیین شده، بررسی. تغییر مکان هدف در این روش براساس تغییر مکان بیشینه غیرالاستیک در سامانه یک‌درجه آزادی به دست می‌آید. برای نمونه، در روش تحلیل پوش‌آور که در FEMA 356 [۱] و FEMA 450 [۲] به آن‌ها اشاره شده است، تغییر مکان هدف در بام، براساس روشی که به آن روش ضربیت تغییر مکان می‌گویند به دست می‌آید. در روش

۱- مقدمه امروزه در کارهای مهندسی سازه برای ارزیابی نیازهای لرزه‌ای سازه‌ها از روش‌هایی همانند تحلیل پوش‌آور و تحلیل پوش‌آور مودال استفاده می‌شود. در این روش‌ها نیروی جانبی وارد شده به سازه به گونه‌ای فزاينده افزایش می‌يابد تا تغییر مکان نقطه مشخص در سازه (بام) به مقدار

مقاومت (R) در شکل ۳ آمده است.



شکل (۳) اثر T_p بر روی نسبت تغییر مکان سازه الاستوپلاستیک کامل در زلزله های حوزه نزدیک پالس گونه. (الف) ضریب کاهش مقاومت ۲ ب) ضریب کاهش مقاومت ۴ (ج) ضریب کاهش مقاومت ۶

مطابق شکل ۳، اثر T_p در نسبت تغییر مکان غیرالاستیک بسیار محسوس و چشمگیر است. شکل ۳-الف میانگین ۳ گروه از رکوردهای انتخابی برای سازه با ضریب کاهش مقاومت ۲ را نشان می دهد که اختلاف چندانی بین نسبت تغییر مکان آنها وجود ندارد، اما برای رکوردهای با T_p بیشتر از ۴ ثانیه، میزان تغییر مکان بیشینه غیرالاستیک در

۴- نسبت تغییر مکان غیرالاستیک

نسبت تغییر مکان غیرالاستیک به صورت نسبت تغییر مکان بیشینه غیرالاستیک به الاستیک به دست آمده از تحلیل سازه یک درجه آزادی با جرم و سختی اولیه یکسان بر اثر زلزله تعریف می شود [۱۲]. نسبت تغییر مکان غیرالاستیک برای یک سازه با مقاومت ثابت با معادله زیر تعریف می شود:

$$C_R = \frac{S_{di}}{S_{de}} \quad (3)$$

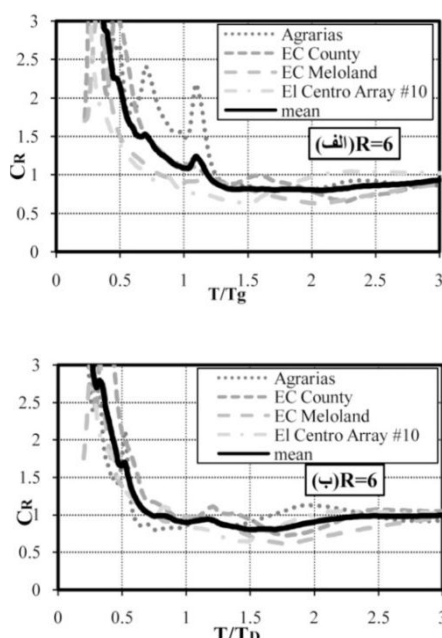
S_{di} بیشترین تغییر مکان غیرالاستیک است که از تحلیل دینامیکی غیرالاستیک یک سازه با ضریب کاهش مقاومت ثابت به دست می آید. ضریب کاهش مقاومت به صورت زیر است:

$$R = \frac{F_e}{F_y} \quad (4)$$

مقاومت جاری شدن و F_e مقاومت جانبی مورد نیاز برای الاستیک باقی ماندن سازه است.

۵- اثر T_p بر نسبت تغییر مکان غیرالاستیک

پریود همراه پالس سرعت T_p یکی از مهم ترین پارامترهای مؤثر بر پاسخ در زلزله های پالس گونه حوزه نزدیک است. Krawinkler و Alavi [۴,۳] نشان دادند که رفتار سازه های با دوره تناوب بیشتر از T_p با سازه های دارای دوره تناوب کمتر از T_p بسیار متفاوت است. بنابراین در این بخش تأثیر T_p بر نسبت تغییر مکان غیرالاستیک بررسی شده است. سه گروه رکورد بر اساس T_p دسته بندی شده است. گروه اول شامل ۴ رکورد با T_p کمتر از یک ثانیه، گروه دوم شامل ۲۴ رکورد با T_p بیشتر از یک ثانیه و کمتر از ۴ ثانیه و گروه سوم شامل ۳۳ رکورد با T_p بیشتر از ۴ ثانیه است. نتایج بدست آمده ارزیابی سه مقدار ضریب کاهش



شکل (۴) نسبت تغییر مکان غیرالاستیک برای ۴ رکورد حوزه نزدیک پالس گونه و تأثیر نرمال کردن دوره تناوب. (الف) به صورت تابعی از T/T_D (ب) به صورت تابعی از T/T_g

همان گونه که در شکل ۴ دیده می‌شود در حالت نرمال شده با T_D میانگین، نمودارها بهتر از حالت نرمال شده با T_g ، روند تغییرات نسبت تغییر مکان غیرالاستیک را نشان می‌دهد. همچنین تأثیر نرمال کردن دوره تناوب با T_D برای کاهش پراکندگی در دوره تناوب‌های کم، بیشتر از حالتی است که از T_g استفاده شده است. در نتیجه اینجا از دوره تناوب نرمال شده با T_D استفاده شده و مقادیر نسبت تغییر مکان غیرالاستیک برای $T/T_D = 120$ به دست آمده است.

۷- نتایج مطالعات بر روی نسبت تغییر مکان غیرالاستیک

۷-۱- نتایج اصلی مربوط به CR

مقادیر نسبت تغییر مکان غیرالاستیک برای ضرایب کاهش مقاومت و میانگین آن‌ها در شکل ۵ آمده است. طیف به دست آمده برای میانگین نسبت تغییر مکان غیرالاستیک را

همهی دوره تناوب‌های به دست آمده، بیشتر از تغییر مکان بیشینه الاستیک است.

در شکل‌های ۳-ب و ۳-ج، این افزایش با زیاد شدن ضریب کاهش مقاومت، بیشتر می‌شود به گونه‌ای که در سازه‌های با ضریب کاهش مقاومت ۴ و ۶ این افزایش چشم گیر است. در سازه با ضریب کاهش مقاومت ۴، نسبت تغییر مکان غیرالاستیک برای گروه دوم در دوره تناوب‌های کمتر از ۱/۷۵ ثانیه، بیشتر از گروه اول و برای گروه سوم، برای تقریباً همهی دوره‌های تناوب، بیشتر از گروه اول و دوم است. این نتیجه‌گیری را می‌توان برای سازه با $R=6$ نیز داشت. این نکات بیانگر آن است که T_p تأثیر زیادی بر پاسخ سازه‌ها در زلزله‌های پالس گونه حوزه نزدیک دارد.

۶- دوره تناوب مربوط به بیشترین مقدار سرعت طیفی و تغییر مکان طیفی

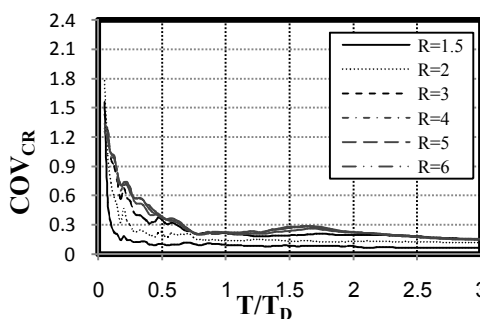
Miranda و Ruiz-García [۱۰] دریافتند که نسبت تغییر مکان غیرالاستیک برای رکوردهای گوناگون، روند ثابت دارد. آن‌ها در مقاله خود برای کاهش پراکندگی داده‌ها، نشان دادند که نرمال کردن دوره تناوب با دوره تناوب نظیر بیشترین مقدار سرعت طیفی (T_g) با میرایی ۵ درصد مناسب‌تر است.

در این پژوهش برای کاهش پراکندگی، سه حالت برای نرمال کردن دوره تناوب در نظر گرفته شده است. در حالت اول همانند کارهای Miranda, Ruiz-García [۱۰] از T_g برای تحلیل سازه‌ها و نبود شناخت کافی برای پیش‌بینی آن، کار گذاشته شد. در حالت آخر، از دوره تناوب نظیر بیشترین مقدار تغییر مکان طیفی (T_D) با میرایی ۵ درصد استفاده شد (شکل ۴-الف). در حالت دوم از T_p استفاده شد اما به خاطر نامشخص بودن آن در زمان تحلیل سازه‌ها و نبود شناخت کافی برای پیش‌بینی آن، کار (شکل ۴-ب).

نمود حسنی و همکاران را نشان می دهد. با افزایش سطح تغییر مکان غیرالاستیک (افزایش R) ضریب تغییرات (COV) نیز افزایش می باید. افزون بر آن، برای T/T_D کمتر از 0.25 ، مقدار COV بالا است که نشان از پراکندگی زیاد در این بازه دارد. همچنین مقدار COV و پراکندگی با افزایش T/T_D به ویژه بیشتر از 0.7 ، کاهش چشم گیری می باید.

۳-۷- تأثیر بزرگا و فاصله زلزله

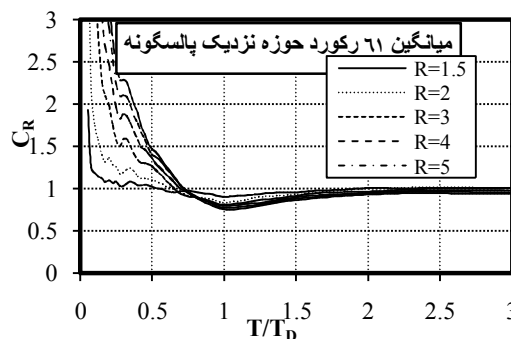
بزرگای زمین لرزه رابطه مستقیمی با انرژی آزاد شده از آن دارد. در بخش های قبل نیز دیده شد که T_p بر نسبت تغییر مکان غیرالاستیک تأثیر بسیاری دارد. محققان نشان داده اند که می توان مقدار T_p را به بزرگای زلزله ارتباط داد [۱۸].



شکل (۶) ضریب تغییرات نسبت تغییر مکان غیرالاستیک ۶۱ رکورد زلزله حوزه نزدیک با مقادیر $R = 1/5, 2, 3, 4, 5$ و 6

در این بخش به تأثیر بزرگای زلزله بر نسبت تغییر مکان غیرالاستیک پرداخته شده است. برای این هدف از سه گروه رکورد زلزله استفاده شده است: ۱) زلزله با بزرگای ممان بیشتر از $21/5$ رکورد زلزله، ۲) زلزله با بزرگای ممان بیشتر از $7/5$ و کمتر از 7 ، شامل 17 رکورد زلزله و ۳) بزرگای ممان بیش از 7 که شامل 23 رکورد زلزله می شود. نتایج به دست آمده از تحلیل در شکل ۷ برای سه ضریب کاهش مقاومت ارائه شده است. همان گونه که دیده می شود تأثیر بزرگای زلزله چشم گیر نبوده و تغییرات یکنواختی ندارد.

می توان به سه بازه تقسیم کرد. بازه اول به محدوده دوره تناوب های کمتر از $T_D/7$ مربوط می شود. در این بازه تغییر مکان بیشینه غیرالاستیک از تغییر مکان بیشینه الاستیک بیشتر است. همچنین با افزایش ضریب کاهش مقاومت، مقدار C_R افزایش می باید.

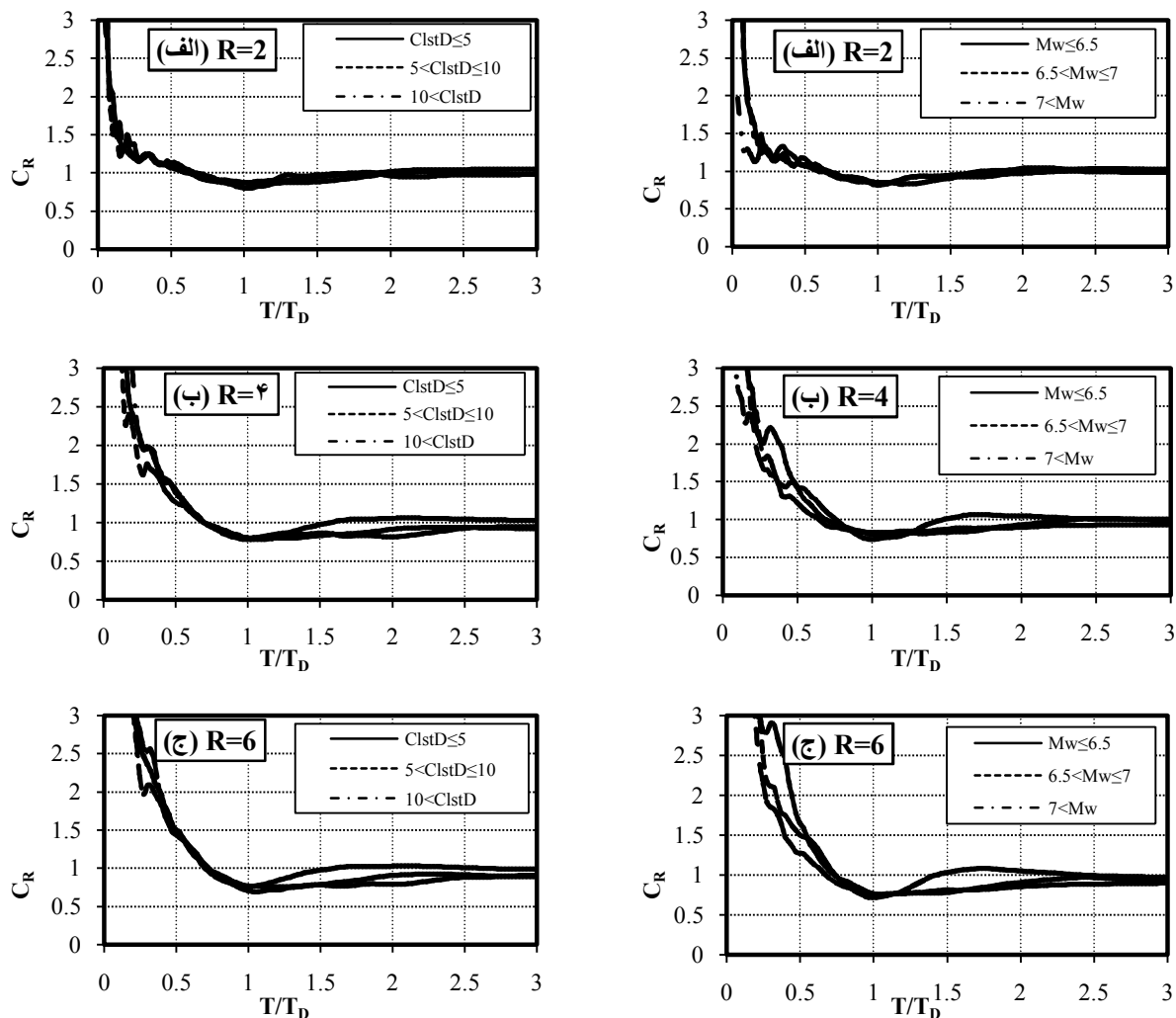


شکل (۵) میانگین نسبت تغییر مکان غیرالاستیک ۶۱ رکورد حوزه نزدیک پالس گونه برای سازه استوپلاستیک کامل با ضرایب کاهش مقاومت $(R = 1/5, 2, 3, 4, 5)$

بازه دوم، محدوده بین دوره تناوب های بیشتر از $T_D/7$ و کمتر از $1/T_D$ است. در این محدوده به طور میانگین، تغییر مکان بیشینه غیرالاستیک کمتر از تغییر مکان بیشینه الاستیک است. در بازه سوم که دوره تناوب بیشتر از $1/T_D$ است، تغییر مکان بیشینه غیرالاستیک و تغییر مکان بیشینه الاستیک تقریباً با هم برابر است. نتایج به دست آمده در این بخش از نظر تقسیم بندی نقاط طیفی با نتایج Ruiz-García و Miranda [۱۰] هماهنگی دارد ولی بازه این محدوده ها با هم متفاوت است

۴-۲- پراکندگی CR

تعیین سطح پراکندگی مقادیر نسبت تغییر مکان غیرالاستیک اهمیت بسیار دارد. یک پارامتر مؤثر و معمول برای بیان سطح پراکندگی، ضریب تغییرات (COV) است. این پارامتر به صورت نسبت انحراف استاندارد به میانگین تعریف می شود. شکل ۶، ضریب پراکندگی برای مقادیر مختلف R



شکل (۶) تأثیر کوتاهترین فاصله محل ثبت رکورد تا سطح گسیختگی بر نسبت تغییر مکان غیرالاستیک رکوردهای حوزه نزدیک پالس گونه.
 الف) ضریب کاهش مقاومت برابر ۲ است. ب) ضریب کاهش مقاومت برابر ۴ است. ج) ضریب کاهش مقاومت برابر ۶ است.

شکل (۷) تأثیر بزرگای زلزله بر نسبت تغییر مکان غیرالاستیک رکوردهای حوزه نزدیک پالس گونه. الف) ضریب کاهش مقاومت ۲.
 ب) ضریب کاهش مقاومت ۴. ب) ضریب کاهش مقاومت ۶

برای بررسی اثر فاصله رکورد، همانند قبل، رکوردها براساس فاصله به سه گروه تقسیم شده است: (۱) ۲۲ رکورد کمتر از ۵ کیلومتر (۲) ۲۵ رکورد بیش از ۵ و کمتر از ۱۰ کیلومتر و (۳) ۱۴ رکورد با فاصله بیش از ۱۰ کیلومتر. در شکل ۸ نتایج تحلیل سه گروه رکورد برای سه ضریب کاهش مقاومت آمده است. در این شکل، تأثیر کوتاهترین فاصله محل ثبت رکورد تا سطح گسیختگی، ناچیز و قابل چشمپوشی است.

۴-۷-۱-اثر سخت‌شوندگی بعد از جاری شدن

ابتدا با در نظر گرفتن رفتار چرخهای مدل چندخطی بدون کاهندگی مقاومت و سختی، اثر سخت‌شوندگی بعد از جاری شدن بر نسبت تغییر مکان غیرالاستیک بررسی شده است. برای این هدف از چهار مدل با نسبت شبیه ثانویه به اولیه (α) صفر (حالت پلاستیک دلخواه)، سه، پنج و ده

سازه الاستوپلاستیک نشان داده شده است. با افزایش ضریب کاهش مقاومت، این نسبت کاهش می یابد. همچنین در نسبت T/T_D کمتر از 0.5 ، کاهش این نسبت بسیار سریع است. افزون بر نتایج بالا باید به این نکته نیز اشاره کرد که با توجه به این شکل، با افزایش نسبت T/T_D ، تأثیر سخت شوندگی کاهش می یابد. در دوره تناوب های بیش از $2T_D$ ، این نسبت به یک نزدیک می شود.

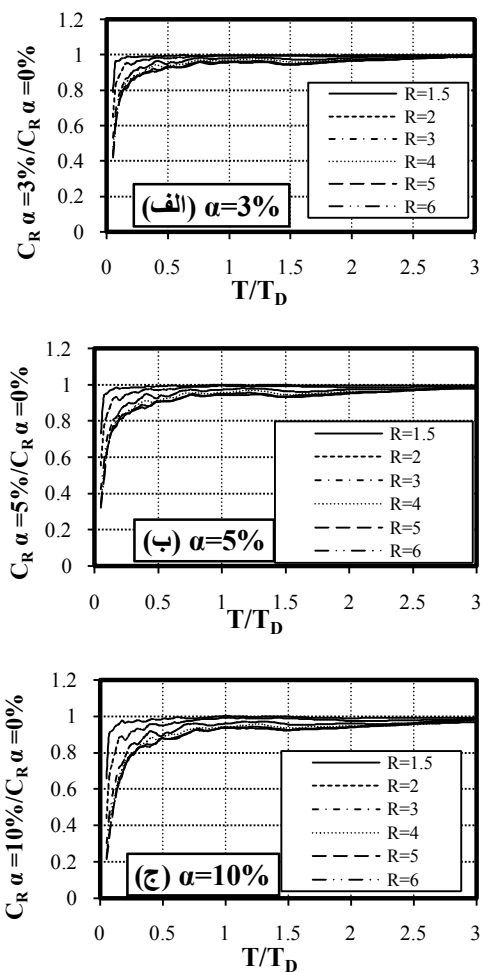
۲-۴-۷ آثار کاهندگی چرخه ای

پژوهش روی اثر کاهندگی چرخه ای بر نسبت C_R در زلزله های پالس گونه حوزه نزدیک [۱۲ و ۱۳] در مقایسه با زلزله های بدون پالس [۱۹] جامعیت کمتری دارد. در این بخش اثر کاهندگی ناشی از بارگذاری های متناوب بر نسبت C_R در زلزله های پالس گونه حوزه نزدیک بررسی شده است. مدل های در نظر گرفته شده در این مطالعه به دو گروه تقسیم می شوند: ۱) مدل کاهندگی سختی کلاف و ۲) مدل کاهندگی سختی و مقاومت کلاف؛ که در مورد هر دو گروه توضیح داده شد. برای بررسی اثر کاهندگی برای هر رکورد زلزله، هر ضریب کاهش مقاومت و هر دوره تناوب، نسبت تغییر مکان غیرالاستیک برای سازه های با کاهندگی، محاسبه شده و نسبت C_R در سازه با کاهندگی به C_R در سازه بدون کاهندگی به دست آمده است.

مطابق شکل ۱۰-الف، نسبت تغییر مکان غیرالاستیک در دوره تناوب های کمتر از T_D ، در سازه با کاهندگی سختی بیشتر از حالت بدون کاهندگی است و در دوره تناوب های بیشتر از T_D ، این نسبت در سازه های با و بدون کاهندگی سختی تقریباً برابر است.

در شکل ۱۰-ب، نسبت C_R در سازه با کاهندگی سختی و مقاومت به C_R در سازه بدون کاهندگی نشان داده شده است. با کاهش ضریب کاهش مقاومت، این نسبت افزایش

درصد استفاده شد. برای هر یک از مدل ها و هر رکورد براساس ضریب کاهش مقاومت، نسبت تغییر مکان غیرالاستیک با ارزیابی های دینامیکی غیرخطی به دست آمده است. برای بررسی تأثیر سخت شوندگی، نسبت C_R در سازه های با مقادیر $\alpha = 3\%, 5\%, 10\%$ ، به سازه در حالت پلاستیک کامل به دست آمده است (شکل ۹).



شکل (۹) اثر سخت شوندگی بعد از جاری شدن بر نسبت تغییر مکان غیرالاستیک رکوردهای حوزه نزدیک پالس گونه. (الف) نسبت سخت شوندگی (α) ۳٪ (ب) نسبت سخت شوندگی (α) ۵٪ (ج) نسبت سخت شوندگی (α) ۱۰٪

در شکل ۹ نسبت C_R سازه دارای سخت شوندگی به C_R

آمده است. می‌توان نوشت:

$$\bar{C}_R = f\left(R, \frac{T}{T_D}, \lambda\right) \quad (5)$$

براساس مطالب بخش ۷ و شکل تغییرات منحنی میانگین نسبت تغییر مکان غیرالاستیک، رابطه زیر برای براورد C_R پیشنهاد شده است:

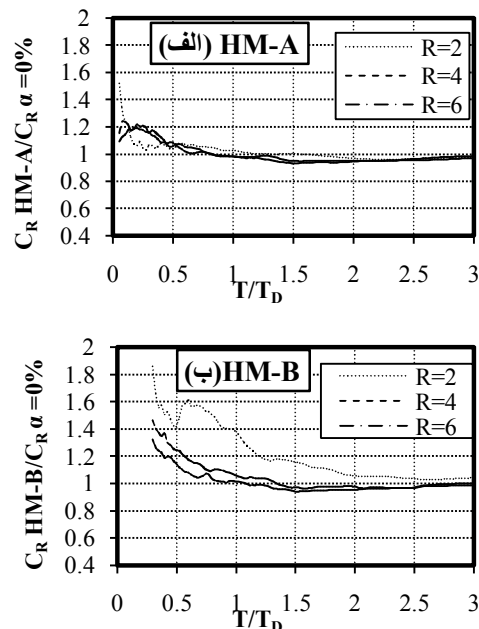
$$\bar{C}_R = a + (R - 1) \left[\frac{b}{\hat{T}} + \frac{c}{(\hat{T})^d} + \frac{e\hat{T}}{\exp(5 \cdot (\ln(\hat{T} + 0.2))^2)} \right] \quad (6)$$

برابر \hat{T} دوره تناوب، T_D دوره تناوب نظری تغییر مکان بیشینه طیفی با میرایی ۵ درصد، R ضریب کاهش مقاومت و a, b, c, d, e پارامترهایی است که با استفاده از رگرسیون غیرخطی بدست می‌آید.

[۹] Ruiz-García and Miranda اثر نوع خاک ساختگاه روی نسبت تغییر مکان غیرالاستیک در زلزله‌های بدون اثر جهت‌گیری قابل چشم‌گیر نیست. افزون بر آن Changhai و همکاران [۲۲] نیز نتیجه‌گیری کردند که اثر خاک ساختگاه بر نسبت تغییر مکان غیرالاستیک سازه‌های با شکل پذیری ثابت در اثر زلزله‌های با جهت‌گیری، کم است. پس، اثر نوع خاک ساختگاه در معادله ۶ در نظر گرفته نشده است تا بدون کاهش زیاد دقت، رابطه ساده‌تری به دست آید. برای انجام رگرسیون غیرخطی از الگوریتم Levenberg-Marquard [۲۳] استفاده شده و مقادیر پارامترها با نرم‌افزار MATLAB [۲۴] به دست آمده است؛ و مقادیر پارامترهای a, b, c, d, e برای هر یک از ضرایب کاهش مقاومت بر اساس رگرسیون داده‌های میانگین در جدول ۲ ارائه شده است.

برای مقایسه داده‌ها و رابطه پیشنهاد شده در شکل ۱۱، برای سه ضریب کاهش مقاومت، مقادیر میانگین و منحنی

می‌یابد و در ضریب کاهش مقاومت ۲، در همه‌ی دوره تناوب‌ها، نسبت تغییر مکان غیرالاستیک در سازه با کاهندگی، همواره بیشتر از مقدار نظری خود در سازه بدون کاهندگی است؛ اما با افزایش ضریب کاهش مقاومت در دوره تناوب‌های بیش از $1/3 T_D$ ، تغییر مکان غیرالاستیک در سازه با و بدون کاهندگی تقریباً برابر می‌شود.



شکل (۱۰) نسبت تغییر مکان غیرالاستیک سازه با کاهندگی به سازه بدون کاهندگی برای ضریب کاهش مقاومت ۲، ۴ و ۶ در اثر زلزله‌های حوزه نزدیک پالس گونه. (الف) سازه با مدل کاهندگی سختی کلافل (ب) سازه با مدل کاهندگی سختی و مقاومت کلاف

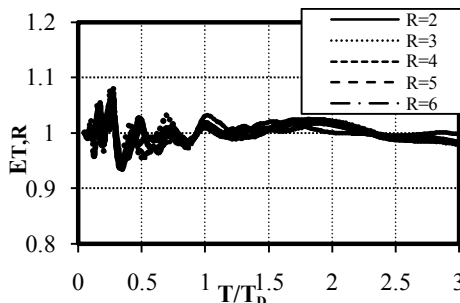
-۸- رابطه پیشنهاد شده برای محاسبه CR

با ارائه یک رابطه برای براورد نسبت تغییر مکان غیرالاستیک در طراحی به روش تغییر مکان، می‌توان تغییر مکان بیشینه یک سامانه غیرالاستیک را از تغییر مکان بیشینه یک سامانه الاستیک به دست آورد. در اینجا، برای C_R ، معادله‌ای پیشنهاد شده است که تابعی از ضریب کاهش مقاومت R و ضرایب ثابت λ است که از برآش داده‌ها به دست

نعمت حسنی و همکاران
۲۵] FEMA 440، رابطه ای برای خطای میانگین ارائه کرده که به صورت زیر است:

$$E_{T,R} = \left[\frac{(\Delta_i)_{app}}{(\Delta_i)_{ex}} \right]_{T,R} \quad (V)$$

این خطای برای هر دوره تناوب و هر ضربی کاهش مقاومت به دست می آید. $(\Delta_i)_{app}$ نسبت تغییر مکان غیرالاستیک به دست آمده از روابط ارائه شده و $(\Delta_i)_{ex}$ نسبت تغییر مکان غیرالاستیک به دست آمده از تحلیل های دینامیکی غیرخطی است. در این پژوهش نیز از این فرمول برای به دست آوردن خطای میانگین استفاده شده است و در شکل ۱۲ نتایج آن دیده می شود.



شکل (۱۲) خطای میانگین به دست آوردن نسبت تغییر مکان غیرالاستیک با استفاده از فرمول ۶

مطابق شکل، اختلاف کمی بین نسبت تغییر مکان غیرالاستیک به دست آمده از رابطه پیشنهاد شده جدید با نظری خود از تحلیل دینامیکی غیرخطی وجود دارد و برای همه مقادیر $\frac{T}{T_D}$ این اختلاف کمتر از ۸ درصد است که بیانگر تقریب بسیار خوب رابطه پیشنهاد شده جدید است.

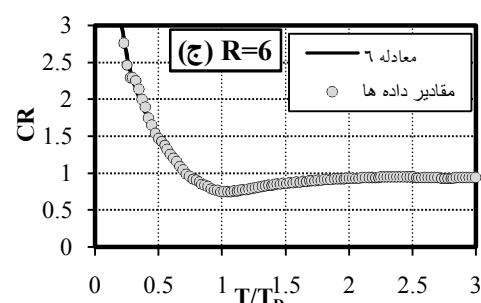
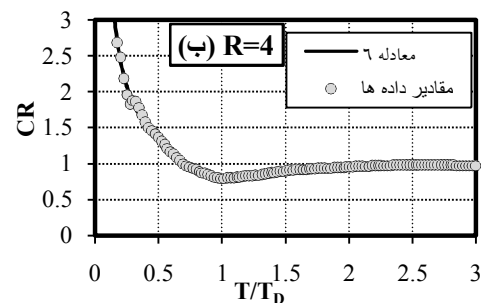
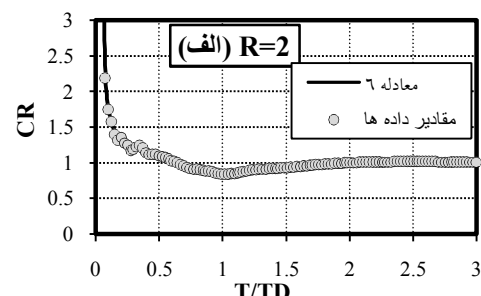
۹- نتیجه گیری

این پژوهش روی نسبت تغییر مکان غیرالاستیک سازه های در معرض زلزله های حوزه نزدیک پالس گونه نتایج زیر را

به دست آمده از رابطه پیشنهاد شده رسم شده است. همان گونه که مشاهده می شود، رابطه جدید، مقادیر مناسبی برای میانگین نسبت تغییر مکان غیرالاستیک را ارائه می دهد.

جدول (۲) پارامترهای به دست آمده از رگرسیون غیرخطی معادله ۶

پارامترها	R=۲	R=۳	R=۴	R=۵	R=۶
a	۰/۹۸۶۰۰۳	۰/۹۲۴۱۲۹	۰/۸۶۴۲۵۶	۰/۸۲۲۷۰۳	۰/۷۸۴۶۰۳
b	۰/۰۶۸۲۹۶	۰/۰۹۰۹۳	۰/۰۹۳۴۷۵	۰/۰۸۶۶۹۴	۰/۰۸۱۳۰۷
c	۸/۹۹۵-۰۷	۰/۰۰۰۳۳۸	۰/۰۰۰۶۴۸	۰/۰۰۱۱۶۲	۰/۰۰۱۰۷۹
d	۴/۸۷۲۶۰۵	۲/۹۶۶۱۰۱	۲/۷۶۳۹۱	۲/۵۴۷۸۸۴	۲/۵۳۹۹۶۹
e	-۰/۲۲۹۵۹	-۰/۱۶۹۲۵	-۰/۱۴۵۲۱	-۰/۱۱۴۶۸	-۰/۱۰۳۰۸



شکل (۱۱) مقایسه نسبت تغییر مکان غیرالاستیک میانگین برای سازه های الاستوپلاستیک کامل در اثر زلزله های حوزه نزدیک پالس گونه و مقادیر به دست آمده از فرمول ۶ و ضرایب به دست آمده در جدول ۲.
الف) ضربی کاهش مقاومت ۲ است ب) ضربی کاهش مقاومت ۴.
است ج) ضربی کاهش مقاومت ۶ است

به دست آورده:

- تغییرات کم شده و به یک میل می‌کند.
- ۸ در دوره تناوب‌های کمتر از T_D ، نسبت تغییرمکان غیرالاستیک در سازه با کاهندگی سختی، بیشتر از حالت بدون کاهندگی است. با افزایش دوره تناوب به بیش از T_D مقدار C_R در دو حالت، تقریباً برابر است.
- ۹ تأثیر کاهندگی سختی و مقاومت در نسبت تغییرمکان غیرالاستیک چشم‌گیراست و باعث افزایش تغییرمکان غیرالاستیک نیاز در سازه‌های در معرض زلزله‌های حوزه نزدیک پالس‌گونه می‌شود. این افزایش با کم شدن ضریب کاهش مقاومت، افزایش می‌یابد.
- ۱۰ مقایسه میانگین نسبت تغییرمکان غیرالاستیک سازه‌های در معرض زلزله‌های حوزه نزدیک پالس‌گونه و مقادیر به دست آمده از رابطه پیشنهادی جدید برای محاسبه مقدار میانگین C_R ، نشان از دقت بالای این رابطه جدید دارد.

۱۰- مراجع

- [1] FEMA. "Prestandard And Commentary For The Seismic Rehabilitation Of Buildings." Report FEMA 356, Federal Emergency Management Agency, Washington, D.C., 2000.
- [2] FEMA. "NEHRP Recommended Provisions For Seismic Regulations For New Buildings And Other Structures." Report FEMA 450, Federal Emergency Management Agency, Washington, D.C., 2003.
- [3] Alavi, B., Krawinkler, H., "Effects of Near-Fault Ground Motions on Frames Structures." Report 138, John A. Blume Earthquake Engineering Center, Stanford (CA), 2001.
- [4] Alavi, B., Krawinkler, H., "Behavior of Moment-Resisting Frame Structures Subjected to Near-Fault Ground Motions," Earthquake Engineering and Structural Dynamics, No. 33, 2004, pp. 687-706.

- ۱- از مهم‌ترین ویژگی‌های زلزله‌های حوزه نزدیک که بر پاسخ سازه‌ها مؤثر است پریود همراه پالس سرعت (T_p) است. در زلزله‌های حوزه نزدیک پالس‌گونه، در دوره تناوب‌های بیش از $0.5/T_p$ ثانیه با افزایش T_p ، نسبت تغییرمکان غیرالاستیک افزایش می‌یابد و این افزایش با افزایش ضریب کاهش مقاومت به گونه‌ای چشم‌گیر زیاد می‌شود.
- ۲- اثر نرمال کردن دوره تناوب با دوره تناوب (T_D) نظیر بیشترین مقدار تغییرمکان طیفی با میرایی ۵ درصد نسبت به نرمال کردن با دوره تناوب نظیر بیشترین مقدار سرعت طیفی (T_g) با میرایی ۵ درصد، در کاهش پراکندگی داده‌ها، بیشتر است.
- ۳- با بررسی میانگین نسبت تغییرمکان غیرالاستیک در دوره تناوب‌های کمتر از $0.7/T_D$ ، تغییرمکان غیرالاستیک از تغییرمکان الاستیک بیشتر است. همچنین با افزایش ضریب کاهش مقاومت، این افزایش بیشتر می‌شود.
- ۴- در بازه‌ی دوره تناوب‌های $0.7/T_D$ و $1.7/T_D$ ، به‌طور میانگین تغییرمکان غیرالاستیک، کمتر از تغییرمکان الاستیک است. در این بازه، استفاده از قانون تغییرمکان برابر، تغییرمکان نیاز سازه‌های غیرالاستیک را دست بالا برآورد می‌کند.
- ۵- در دوره تناوب‌های بیش از $1.7/T_D$ ، تغییرمکان غیرالاستیک تقریباً برابر تغییرمکان الاستیک است و قانون تغییرمکان برابر در این بازه کارایی دارد.
- ۶- برای بزرگ‌ها و کوتاه‌ترین فاصله محل ثبت رکورد تا سطح گسینختگی، بزرگ‌ها و فاصله تأثیرزیادی در نسبت تغییرمکان غیرالاستیک ندارد و اختلافات ناچیز است.
- ۷- نسبت تغییرمکان غیرالاستیک در سازه‌های دارای سخت‌شوندگی بعد از جاری شدن، در مقایسه با سازه‌های الاستوپلاستیک کامل کمتر است و در دوره تناوب‌های کمتر از $0.2/T_D$ ، این کاهش زیاد است. اما با افزایش T/T_D ، این

- [15] Erberik, M. A., "Importance of Degrading Behavior for Seismic Performance Evaluation of Simple Structural Systems," Journal of Earthquake Engineering, No. 15, 2011, pp. 32-49.
- [16] Sivaselvan, M. V., Reinhorn, A. M., "Hysteretic Models For Deteriorating Inelastic Structures," Journal of Engineering Mechanics, No. 126, , 2000 pp. 633-640.
- [17] Baker, J. W., "Quantitative Classification of Near-Fault Ground Motions Using Wavelet Analysis," Bulletin of the Seismological Society of America, No. 97, 2007, pp. 1486-1501.
- [18] Bray, J. D., Rodriguez-Marek, A., "Characterization of Forward-Directivity Ground Motions in the Near-Fault Region," Soil Dynamics and Earthquake Engineering, No. 24, 2004, pp. 815-828.
- [19] Song, J.-K., Pincheira, J. A., "Spectral Displacement Demand of Stiffness- and Strength-Degrading Systems," Earthquake Spectra, No. 16, 2000, pp. 817-851.
- [20] Pekoz, H. A., Pincheira, J. A., "Seismic Response Of Strength And Stiffness Degrading Single Degree Of Freedom Systems," 13th World Conference on Earthquake Engineering, Vancouver, B.C., Canada, August 2004.
- [21] Chenouda, M., Ayoub, A., "Inelastic Displacement Ratios of Degrading Systems," Journal of Structural Engineering, No. 134, 2008, pp. 1030-1045.
- [22] Changhai, Z., Shuang, L., Lili, X., and Yamin, S., "Study On Inelastic Displacement Ratio Spectra For Near-Fault Pulse-Type Ground Motions," Earthquake Engineering And Engineering Vibration, No. 6, pp. 351-355, 2007.
- [23] Seber, G. A. F., Wild, C. J.; Nonlinear Regression, 1st edition, John Wiley & Sons, 2003.
- [24] Mathworks, "MATLAB: The Language of Technical Computing," version 7.1, The Mathworks Inc, 2010.
- [25] FEMA. "Improvement Of Nonlinear Static Seismic Analysis Procedures." Report FEMA 440, Federal Emergency Management Agency, Washington, D.C., 2005.
- [5] Chopra, A. K., Chintanapakdee, C., "Inelastic Deformation Ratios for Design and Evaluation of Structures: Single-Degree-of-Freedom Bilinear Systems," Journal of Structural Engineering, No. 130, 2004, pp. 1309-1319.
- [6] Miranda, E., "Inelastic Displacement Ratios For Structures On Firm Sites," Journal of Structural Engineering, No. 126, 2000, pp. 1150-1159.
- [7] Miranda, E., "Inelastic Displacement Ratios For Displacement-Based Earthquake Resistant Design," 12th World Conference on Earthquake Engineering, Auckland, New Zealand, 2000.
- [8] Miranda, E., "Estimation Of Inelastic Deformation Demands Of Sdof Systems," Journal of Structural Engineering, No. 127, 2001, pp. 1005-1012.
- [9] Ruiz-Garcia, J., Miranda, E., "Inelastic displacement ratios for evaluation of existing structures," Earthquake Engineering and Structural Dynamics, No. 32, 2003, pp. 1237-1258.
- [10] Ruiz-Garcia, J., Miranda, E., "Inelastic Displacement Ratios for Evaluation of Structures Built on Soft Soil Sites," Earthquake Engineering and Structural Dynamics, No. 35, 2006, pp. 679-694.
- [11] Baez, J. I., Miranda, E., "Amplification Factors To Estimate Inelastic Displacement Demands For The Design Of Structures In The Near Field," 12th World Conference on Earthquake Engineering, Auckland, New Zealand, 2000.
- [12] Akkar, S., U. Yazgan, and P. Gulkani, "Deformation Limits For Simple Non-Degrading Systems Subjected To Near-Fault Ground Motions," 13th World Conference on Earthquake Engineering, Vancouver, B.C., Canada, August 2004.
- [13] Ruiz-Garcia, J., "Inelastic Displacement Ratios for Seismic Assessment of Structures Subjected to Forward-Directivity Near-Fault Ground Motions," Journal of Earthquake Engineering, No. 15, 2011, pp. 449-468.
- [14] Akkar, S., Kale, Ö., Boore, D.M., Çektimur, E.V., Bas, S., "USDP : Utility Software for Data Processing," version 1.3.4.21, METU-Earthquake Engineering Research Center, 2011.